

消化系疾病文摘

上海市医学科学技术情报研究站 编
消化系疾病文摘編譯委員會

1

1964

上海市科学技术編譯館

消化系疾病文摘

卷之三十一
总第十一期



1

总第十一期

总主编：周晋衡 大连市图书馆

目 录

胃

1. 胃炎患者中胃酸分泌的变化(1)
2. 2843例多部位胃鏡检查术的診斷經驗(1)
3. 胃粘膜萎縮的X線診斷(2)
4. 胃鏡:5,730例分析(2)
5. 胃黃色纖維瘤(報告一例伴有严重的继发性低血色素性貧血的病例).....(3)
6. 四环素螢光試驗在发现胃恶性变中的应用(3)
7. 青年患者中的胃癌(4)
8. 鈷远照射(Telecobalt)和5-氟尿嘧啶(5-Flurouracil)合并治疗晚期胃癌... (4)
9. 水杨酸盐对胃肠道糜烂与出血的局部作用(5)
10. 成年型幽門肥厚性狭窄的治疗(6)
11. 应用放射性同位素对胃切除后营养不良的研究(6)

潰 痘 病

12. 十二指肠球部以外潰瘍的X線診斷与誤診(7)
13. 減低張力下十二指肠造影术500例的分析(8)
14. 胃冰冻术(8)
15. 選擇性迷走神經切断术后的一些观察 ... (9)
16. 高位胃小弯潰瘍的外科治疗(9)
17. 長期觀察證明 Billroth 氏 I 式胃切除术不足以持久控制十二指肠潰瘍(10)
18. 難治性十二指肠潰瘍:手术指征的客观依据(10)
19. 老年人的消化性潰瘍出血(11)
20. 肝脏边缘影象——一种十二指肠潰瘍穿孔的特征性征象(11)

腸

21. 十二指肠憩室(12)
22. 小肠神經纖維瘤(12)
23. 小肠吸收不良綜合征中的两种类型(12)
24. 应用 Ca^{45} 研究小肠吸收不良綜合征.....(13)
25. 热带性口炎性腹泻患者尿中甘氨酸的

排泄(14)

26. 小剂量新霉素导致的吸收不良症(15)
27. 应用口服水溶性造影剂研究小肠梗阻与非动力性肠郁积(15)
28. 胃肠道水力吸引活組織检查的危险性 ... (16)
29. 几种小肠疾病伴有吸收不良者的小肠粘膜的亞細微結構改变(16)
30. 应用胸导管套管法診斷肠結核(17)
31. 局限性肠炎(克隆氏病)和慢性溃疡性結肠炎的比較(17)
32. 皂素作为排空剂在結肠放射診斷学上的应用 (报道一种新的双重造影法)...(18)
33. 直肠类癌瘤的組織发生(19)
44. 直肠癌外科治疗的远期疗效(19)
35. 肛門閉鎖的X線檢查(19)

肝脏与胆道

36. 肝脏大小的临床估价(20)
37. 应用吲哚氰兰綠作为一种肝功能試驗 ... (20)
38. 在急性及慢性肝脏疾病中用 S^{35} 甲硫氨酸作肝功能检查的价值(21)
39. 肝病患者中的乳胶結合試驗(21)
40. 正常人和肝硬变患者的胃尿素酶活力 ... (22)
41. 鳥氨酸氨基甲酰轉移酶对黃疸鑑別診断的价值(23)
42. 人血清 γ -各酰基轉肽酶的比色測定法及健康人与疾病时該酶的活力(23)
43. 靜脉注射乙醇对正常和肝病患者血清酶的影响(24)
44. 阿尔及利亚病毒性肝炎流行时的重症黃疸(25)
45. 同种血清肝炎的預后(26)
46. 急性肝炎病例中血清蛋白测定对預后的意义(26)
47. 应用 I^{131} 標記的血清白蛋白研究慢性肝炎患者的蛋白质代謝(27)
48. 妊娠特发性黃疸(27)
49. 妊娠期的复发性黃疸——肝內胆汁郁积型(28)

50. 瑞典某地区 10 年中未經選擇的 360 例
 肝硬变隨防分析(28)
51. 肝硬变患者的胰腺功能改变(29)
52. 肝硬变的植物和霉菌病因(30)
53. 肝硬变患者的纖維蛋白溶解素及有关
 的血浆酶(31)
54. 肝硬变患者紅細胞內6-磷酸葡萄糖脫氫
 酶活力測定(31)
55. 門脉性肝硬变伴腹水者的小肠吸收(32)
56. 曼氏血吸虫病与門脉高压症(33)
57. 保留脾脏的脾腎靜脈側-側吻合术治疗
 門靜脈高壓症(33)
58. 小儿門脉高压症的外科治疗(34)
59. 門-腔靜脈吻合术后間接反应型高胆紅
 素血症的发生机制(34)
60. 肝性昏迷时血清內的无机磷(35)
61. 血氨与肝性昏迷(35)
62. 隱球菌病引起的肝功能衰竭(36)
63. 慢性阿米巴肝炎(37)
64. 慢性特发性黃疸(Dubin-Johnson 綜
 合征)的研究 I 肝脏排泄功能的缺陷(37)
65. Gilbert氏病患者的肝脏提取功能缺陷(38)
66. 肠道对非結合胆紅素的回吸:新生儿黃
 疸的可能有关因素(39)
67. 肝內肝管系統的异常和肝管癌(39)
68. 肝內性肝动脉瘤(40)
69. 肝脏閃爍摄影图对診斷肝脏肿瘤的意
 义(41)
70. 用直肠內給予放射性碘的方法診断肝
 脏轉移癌(41)
71. 肝切除治疗广泛肝脏损伤(42)
72. 人类肝脏梗死症(42)
73. 何杰金氏病中黃疸的发生机制(42)
74. 肝糖原在預防手术时发生肝脏損害中
 的重要性(43)
75. 青霉胺治疗 Wilson 氏病的疗效观察(44)
76. 灌肠胆囊造影法(45)
77. 胆道流量X綫电影摄影(45)
78. 胆囊造影陰性而有胆囊疾病的症状(46)
79. 胆囊癌(46)
80. 超声波在胆石症手术时的应用(47)
- ### 胰 腺
81. 分泌素試驗的研究(47)
- ### 實驗研究
82. 上消化道粘膜的出血机制(48)
83. 刺激迷走神經释放胃泌素的作用机制
 研究(49)
84. 残留胃的大小及胃幽門的去留对胃排
 空功能影响的實驗研究(49)
85. 血清素对胃分泌的影响(50)
86. 吸收不良綜合征的生化問題(50)
87. 絞窄性肠梗阻中的休克:其机制和处理(51)
88. Iothalamic acid: 腹空造影术(犬和大
 白鼠的實驗研究)(53)
89. Crotalaria 对火鸡所致的肝硬变(53)
90. 三磷酸腺苷預防乙硫氨酸所致脂肪肝
 的實驗觀察(53)
91. 肝病中的叶酸代謝(54)
92. 嘴啡癮和无癮恒河猴的肝功能改变(55)
93. 网状内皮系統干挠所引起的肝損害(56)
94. 肝細胞变性(56)
95. 玉米油及椰子油在大鼠食餌性肝硬变
 中的作用(57)
96. 大鼠的脂肪性肝硬变: V 正常飼料后
 的病变消退(57)
97. 以区域葡萄糖耐量試驗估計門-腔靜脈
 分流术吻合口的通畅度(58)
98. 大鼠部分肝切除与門-腔吻合术后的肝
 脏亞显微结构改变(58)
99. 过敏反应的电子显微鏡观察:变态反应
 性肝坏死(59)
100. 急性胆囊炎:實驗性研究(59)
101. 胆石的解剖(60)
- ### 其 他
102. 网膜囊的X綫观察(61)
103. 頸椎关节病引起的吞咽困难(61)
104. 伴有缺鉄性貧血、肝脾肿大、侏儒症及
 性腺功能減退症候群患者的鋅代謝(62)

胃

1. 胃炎患者中胃酸分泌的变化

Lambling, A. 和 Bernier, J. J.

«Arch Mal Appar Dig» 1963, 52

(1~2):5~14(法文)

作者等对 82 例經胃鏡檢查証實的各种类型胃炎患者进行胃酸分泌的研究，另外根据 Pavlov 和 Hollander 二氏的胃液分泌机制學說，还作了原始酸及原始硷分泌二項检查。这些胃炎患者的 2 小时胃液分泌量平均为 176 毫升(正常为 150~250 毫升，平均 203 毫升)；最高酸度为 58 毫克当量/升(正常为 80 毫克当量/升以上，平均 100 毫克当量/升)；注射組織胺 0.5 毫克后 2 小时內所分泌的游离酸平均为 7.7 毫克当量(正常为 9 毫克当量以上，平均 15 毫克当量)；64% 患者的总酸度与游离酸的差值增加。

如按胃炎分类来分析，23 例弥漫性萎縮性胃炎中，有 52% 的患者胃液分泌量減少，平均 136 毫升；48% 的患者酸度減低；30% 的患者无酸；78% 的患者在注射組織胺后酸度低于正常。12 例局限性萎縮性胃炎与 5 例肥大性胃炎的胃酸分泌改变較弥漫性萎縮性胃炎为輕。13 例潰瘍糜烂性胃炎、14 例乳头状胃炎(Gastrites mamelonées)与 15 例水肿性胃炎的胃酸分泌改变輕微；在这三种类型的胃炎中(共 42 例)，28% 患者的胃液分泌量增高，平均为 176 毫升；注射組織胺后 12% 患者的酸度增高，仅 1 例无酸。

由于胃液是酸性和硷性二种分泌液所組成，因此分別测定原始酸和原始硷具有一定的价值。可惜目前还不能直接测定，而只能应用間接法。

82 例胃炎的測定結果：2 小时原始酸分泌量平均为 78 毫升，較正常值 85 毫升为低；原始硷分泌量輕度增加，平均为 97 毫升，較正常值 73 毫升为高。如按胃炎分类来分析，弥漫性和局限性萎縮性胃炎、肥大性胃炎的原始酸分泌量分別为 50、70 与 55 毫升，大都較正常为低。水肿性、潰瘍糜烂性与乳头状胃炎(共 42 例)中，不但有半数患者原始酸分泌量正常，而且还有 6 例高于正常，达 175 毫升以上。

2 小时原始硷分泌量的測定結果，胃炎患者大多正常，82 例中有 15 例原始硷少于 43 毫升(正常

最低值)，34 例大于 103 毫升(正常最高值)。萎縮性胃炎与潰瘍糜烂性胃炎的原始硷分泌量大多較少，而水肿性、肥大性与乳头状胃炎則大多較多。

(朱人璋摘 蕭树东校)

2. 2843 例多体位胃鏡

检查术的診斷經驗

Berry, L. H., Feldman, D. 和 Schoop, R.

«Gastroenterology» 1963 44(1): 20~24(英文)

作者等 20 余年来用改变患者体位的方法，在左侧、背及右侧臥位下进行了近 5,000 例胃鏡检查。本文报道其中 2,843 例检查的經驗總結。

在标准的左侧位观察完毕后，将胃鏡部分抽出至近端鏡身露在口腔外 8 吋左右。令患者轉向背側臥位。在体位轉換过程中，应使患者头部保持最大后仰角度。背側位检查完毕后，再轉向右侧位进行进一步观察。胃角穹窿和小弯于左侧位的 11 点及背側位的 2 点处显露最佳。在右侧位时，“粘液湖”的粘液流至胃竇，掩盖幽門，引流不充分时更是如此，此时皮下注射嗎啡 1/8 嘴可增加胃蠕动，使粘液排入十二指肠；胃前壁、后壁中部及大弯分別于左侧位的 9 点、3 点及 6~7 点处显露最佳；在背側位分別于 12 点、6 点及 8~9 点，右侧位分別于 3 点、9 点及 10~11 点处显露最佳。在視野呈立体形的胃竇处，前、后胃壁及大、小弯可同时在右、左或背側位见到。

表 I 为不同体位觀察結果的比較分析。这些資料証明多体位的診斷价值大于单一左侧体位。在許多病例，病变可反复在背側或右侧位时看到而不能在左侧位见到。在有些病例，可在一个以上体位，不同角度及不同距离觀察到同一病变，从而可以获得比較全面的概念。表 II 比較胃的各解剖部位在三种体位下的胃鏡觀察結果。左侧位不能见到幽門或只能见到幽門收縮环的一部分，而背側及右侧位則往往能见到全部或大部分幽門收縮环。多体位觀察下的胃竇小弯盲区比单一左侧位小。在某些病例，病变仅可在左侧体位的較远处见到，而背側或右侧位常可使检查者通过縮短焦距于較近处见到。左侧位时，胃竇“頂部”的灰白色粘液斑块易被誤认为潰瘍；当轉至右侧位时，粘液便出现在胃竇的“底部”。在某些病例，旋轉体位可較清楚地见到胃后壁，尤其是

远端及中 1/3 处的盲区。从表 I 可看出左侧卧位是观察前壁的最好体位，背侧卧位是观察幽门、胃窦及后壁的最好体位。1 例在背侧及右侧卧位见到胃小弯中部有烧饼形恶性溃疡（手术证实）；但左侧位时未见到。另 1 例位于胃-空肠吻合处的单个光滑息肉样良性肿瘤仅于右侧卧位见到。在胃窦狭窄病例，多体位观察有助于浸润性胃癌、胃窦痉挛与酷似肿瘤的胃炎的鉴别诊断。

表 I 810例不同体位观察结果的比较分析

比 較 的 体 位		例 数
左側位	优于背側位者	34
左側位	优于右側位者	10
背側位	优于左側位者	288
背側位	优于右側位者	17
右側位	优于左側位者	38
右側位	优于背側位者	12
三种体位的所见相同者		29
背側位与左側位相同者		285
背側位与右側位相同者		29
左側位与右側位相同者		68

表 II

解剖部位	总例数	視野最清楚的部位		
		左側位	背側位	右側位
幽 門	361	117	237	7
胃 寶	299	139	157	3
前 壁	707	489	204	14
后 壁	553	208	337	8
責 門	7	4	2	1

（黄淇标摘 王贊舜校）

3. 胃粘膜萎缩的X线诊断

Boack, O. A. A., Kemp, F. H. 和
Richards, W. C. D.

«Brit J Radiol» 1963, 36(428): 578~582(英文)

关于胃粘膜萎缩的X线诊断标准及其诊断价值，文献中尚无一致的意见。作者在对照胃活组织检查和X线检查的结果后，报告正常胃粘膜和胃粘膜萎缩的X线表现。

本文 82 例中，胃活组织检查诊断为胃粘膜正常和浅在性胃炎者 56 例，X线检查除 3 例表现为胃粘膜萎缩外，其余均表现为胃粘膜正常；胃活组织检查诊断为萎缩性胃炎和胃粘膜萎缩者 26 例，X线检查除 4 例表现为胃粘膜正常外，其余均表现为胃粘膜

萎缩。

X线表现：正常胃在充以 5 勺钡餐时，大弯侧各点的皱襞高度均为 1 厘米左右，胃底和沿大弯的上 2/3 可见盘曲的粘膜皱襞，前、后壁可见斜行或横行的皱襞。胃粘膜萎缩者，胃大小和张力中等，皱襞完全消失或明显减少，其高度从不超过 0.5 厘米，胃底平整或仅有小的切迹，大弯通常光滑，但有的病例可见一、二处几不能辨认出是皱襞的微小曲折；大多数病例的前、后壁上仍保留大小正常或明显变细的横行或斜行皱襞。

作者在讨论中指出，X线检查可以区分正常胃粘膜和胃粘膜萎缩。如胃内较干燥则粘膜表面容易显示，不致混淆；但胃内如含有液体或过量粘液或胃扩大时，则不易显示粘膜皱襞，常致误诊。

（陈星荣摘 荣独山校）

4. 胃镜：5,730 例分析

Barowsky, H.

«Amer J Gastroent» 1963, 40(3): 228~231 (英文)

作者对纽约医学院 25 年来经胃镜检查的 5,730 例病人进行了以下分析，按胃镜检查指征而分为三组：

第一组 550 例，为常规检查（包括 X 线检查）未能肯定诊断者。其中 372 例主要主诉是上腹部疼痛，胃镜检查结果 263 例（约占 70%）无异常发现，109 例（约占 30%）胃镜中发现病变（74 例胃炎、25 例溃疡、6 例息肉、4 例癌肿）。本组中 110 例为上消化道出血，胃镜检查结果 62 例正常，32 例静脉曲张（胃—9 例、食道—23 例），5 例溃疡，2 例癌肿，5 例粘膜糜烂与 4 例边缘性溃疡。本组中还有 68 例有体重减轻、食欲不振、乏力等恶性病变综合征，胃镜检查结果 63 例正常，4 例胃后壁癌肿，1 例淋巴肉瘤。作者特别指出 X 线检查对胃后壁癌肿的诊断最易遗漏。

第二组 5,018 例，胃镜检查指征系作为 X 线诊断的辅助方法。大多数病例 X 线检查可以肯定诊断，但有时对病变性质难以肯定，甚至误诊。本组中 1,562 例 X 线发现为幽门前区狭窄与不规则，胃镜检查结果有的是幽门前区胃炎、痉挛，有的是癌肿或胃外压迫。790 例胃体有钡剂充盈缺损、612 例胃底有钡剂充盈缺损，胃镜检查结果大都能鉴别良性或恶性病变，例如肥大性胃炎与何杰金氏病等。980 例作胃镜的目的为区别良性或恶性溃疡，这种区分有时非常困难，但属少数。568 例有幽门梗阻，胃镜检查是为明确病原。另 506 例为胃大部切除术后，胃

鏡檢查目的是進一步肯定有無邊緣性潰瘍或癌腫復發。胃鏡中見到邊緣性潰瘍的陽性率遠較X線檢查為高。

第三組 162 例，為各種胃部良性病變（如良性肿瘤、息肉、胃潰瘍和慢性胃炎等）。這些患者在其病程中會多次作胃鏡檢查，其目的為觀察病變有無痊愈以及有無惡性變。（蕭樹東摘 江紹基校）

5. 胃黃色纖維瘤（報告一例伴 有嚴重的繼發性低血色素 性貧血的病例）

Aleste, F.

《Arch Path》1963, 75(1): 99~104 (英文)

胃黃色瘤病是一種罕見的獨立的疾病，主要表現為多中心性類脂儲藏細胞的增生，後者並浸入胃壁肌層，引起胃壁結締組織增生。病灶周圍常有較多的嗜酸性白細胞的浸潤，局部淋巴結與脾臟均可見類脂儲藏細胞的沉積。所有的病例均無高膽固醇血症，其它內臟也無同樣的病變可見，Halpert 氏認為胃部病灶並不是類脂質代謝障礙的一種表現，而是一種局部腫瘤性增長。

病例報告：患者為 43 歲的家庭婦女，因上腹疼痛三周而入院，疼痛為非刺激性，伴有噯氣，偶爾有嘔吐、黑糞、乏力等現象，發病後體重減輕 5 磅。体检見患者面色蒼白，上腹有壓痛，皮膚、眼部、口腔粘膜無黃色瘤病病灶存在。紅細胞 200 萬，血紅蛋白 5 克，胃部透視見胃腔並不擴張，幽門竇小弯處有圓形肿塊，直徑為 5 厘米。入院後作胃部分切除及胃十二指腸吻合術，手術及術後經過順利，住院期間曾輸血 3 次（每次 500 毫升），紅細胞增加到 390 萬，血紅蛋白 13 克。

病理檢查：標本為部分切除的胃，在小弯中部距幽門 3 厘米處，有圓形肿塊一個，直徑為 $4.5 \times 4 \times 3$ 厘米³，表面為淺層潰破的粘膜所復蓋。肿塊的切面呈黃色，與粘膜下層相連。鏡下見肿塊具有篩網狀膠元支架，其中網羅著很多橢圓形與梭形的成纖維細胞、淋巴細胞、漿細胞、嗜酸性細胞、泡沫狀組織細胞。各處均有毛細血管。肿塊表面的胃粘膜有表淺潰瘍，表面復以纖維素及白細胞。肿塊的脂肪染色見脂滴含量中等，存在於胞漿內及細胞外，多集中於肿塊的中部及後部，局部淋巴結顯示反應性淋巴組織增生。病理診斷為胃黃色纖維瘤。

關於黃色瘤的分類，各家意見不一，Thannhausen 氏從臨床方面區分為三種征候群：（1）高膽

固醇血性原發性黃色瘤病；（2）正常膽固醇血性原發性黃色瘤病；（3）高脂血症引起的繼發性黃色瘤病。

Jaffe 氏認為黃色瘤、黃色纖維瘤或黃色肉芽腫並不是一種愈合的嗜酸性肉芽腫。Stout 氏認為纖維黃色瘤與黃色肉芽腫是不同的，後者可發生在縱隔障、腹膜後或腸系膜，直徑較大，最大的肿塊直徑可達 25 厘米。而纖維黃色瘤常發生在皮膚及皮下組織，常常是單發性的，直徑也較小。再者，黃色肉芽腫中成纖維細胞及其纖維，常排列成交錯的索狀，結構與纖維肉瘤相似。

總之，對於黃色瘤病和黃色瘤性病灶尚有待生化及組織化學等方面的進一步研究，才可能得出一個較合理的分類。（應越英摘 朱无難校）

6. 四圓素螢光試驗在發現 胃惡性變中的應用

Sandlow, L. J., Allen, H. A. 和 Necheles, H.

《Ann Intern Med》1963, 58(3): 409~413 (英文)

在紫外線照射下，四圓素自然地放出黃色螢光。McLeay 氏首先應用四圓素螢光現象以確定癌瘤的部位，在 11 例服用過四圓素的胃癌病例中，癌瘤局部均顯明亮黃色螢光，而在 11 例良性病變中則只有淡藍色的“自身螢光”（“autofluorescence”），因此認為本試驗是檢出胃癌的一種可靠和特異性的方法。晚近 Klinger 和 Katz 二氏應用四圓素螢光試驗發現 18 例胃癌中 17 例呈陽性，而無癌瘤的 42 例均陰性。Kantor 氏亦有類似的發現。本文研究改進試驗步驟，使其更為簡單實用。方法如下：（1）每日口服四圓素 500 毫克 4 次，共 2 日，凡胃瀦留者改為每日肌注四圓素 250 毫克 2 次，共 2 日。（2）于末次用藥 36 小時後，為患者洗胃進行脫落細胞學檢查（患者先經禁食），以 5% 碳酸氫鈉溶液調節抽出液的 pH 值至 7~9 之間。（3）抽出液以 3,000 轉/分離心 10 分鐘，將沉渣薄薄地摊平於濾紙上，置暗處干燥。（4）標本乾燥後即刻在暗室內用 3,600 Ångström* 波長的紫外線檢查。24 小時後重複檢查。（5）每個標本同時由二人觀察，其中一人完全不知道病史，出現明亮黃色螢光即令很小一點亦為陽性。

結果：（1）胃惡性變——21 例腺癌，3 例淋巴肉瘤、1 例平滑肌瘤。本試驗均呈陽性，脫落細胞檢查 24 例發現惡性細胞，1 例可疑。上述病例的診斷 8 例經尸檢、4 例活檢、13 例外科手術所証實。故本組 100% 結果正確，無假陰性。（2）胃良性潰瘍：共

30例。脱落細胞检查均为良性。2例良性潰瘍周围并有胃炎者出现假阳性，因此本組病例中93%正确，7%呈假阳性結果。(3)胃酸缺乏症患者：共20例，其中8例为恶性貧血，8例抗組織胺性胃酸缺乏症，4例胃粘膜萎縮。上消化道胃肠X線检查均阴性。四圓素螢光試驗亦均阴性。(4)其他上消化道疾患：包括十二指肠潰瘍、膈疝、胃炎、胃良性息肉共25例，除診斷为胃息肉的1例外，X線检查胃部均正常。全部病例均有胃游离酸。四圓素螢光試驗均阴性。(5)正常对照組：25例，本試驗22例阴性，3例阳性，經重复检查則均为阴性。(6)检查不完备病例：5例高度怀疑胃恶性变但未經組織学証实的病例，本試驗均呈阳性。

本文报告应用四圓素2日，共4克，然后在30~36小时后洗胃，較过去的方法（四圓素应用5日）縮短了時間，但結果的正确性未受影响。有些正常人在服药后12小时检查胃沉渣可出現假阳性，而在12~24小时后再检查为阴性；染料从正常細胞消失的時間不一致也可能解釋某些在36小时仍出現假阳性的結果。有部分性幽門梗阻时，36小时标本也有假阳性，对这些病例四圓素必須以肌肉注射。胃酸太高时也可使四圓素不出現螢光。标本中虽可見到各种顏色的螢光，但仅有明亮的黃色螢光具有診断意义。淡蓝色的“自身螢光”表示标本中有粘膜細胞，如果无此螢光可能表示細胞脫落不多。标本的制备愈快愈好，胃液必須冷藏，2例胃癌因延迟了几个小时制备标本而致結果阴性，經复查才出現黃色螢光。在130例經過检查的患者中，50例是門診病人，說明本試驗可以作为集体检查方法之一，以发现胃恶性变。作者等曾遇1例腹膜癌病，腹水內找到癌細胞，在服四圓素48小时后进行腹水螢光检查，結果为阳性，而在另2例肝硬变腹水中本試驗阴性。

*譯注：Angström 即 Å°(光波長單位 = 10^{-8} 厘米)

(王贊舜摘 朱无难校)

7. 青年患者中的胃癌

Stock, F. E.

«Lancet» 1963, 1(7285): 805~806 (英文)

作者报告10例經病理証實为胃癌的青年患者，年龄均在31岁以下，最幼者24岁。男女各5例。这些患者均有消化不良、呕吐、呕血或黑粪与体重減輕等症状，自发病至確診为2个月~5年，都被当作消化性潰瘍而治疗。每一例在手术时均发现癌肿已广

泛轉移而不能进行手术根治。作者認為，值得注意的是，10例中有6例的胃部症状超过6个月，虽然都曾在內科应用抗酸剂等治疗，但除1例外，均未作胃肠道鏡餐检查。6例在会診后作了胃肠道鏡餐检查，其中3例认为是良性，其余3例中1例肯定是恶性，2例可能是恶性。作者認為这些患者所以不能手术根治的原因，是由于患者年轻，医生未曾考虑有胃癌可能，因而未能早期作出診斷。作者最后指出，必須认真考慮病人主訴，任何年龄患者的消化不良均应認為有潜在性胃癌的可能。具有消化不良症状的患者，不应在內科治疗一个月以上而不作胃肠道鏡餐检查。另外，胃部有因良性潰瘍引起畸形的青年患者，也不应在內科治疗4周以上而不作鏡餐复查。如复查时畸形持續不变者，可認為有剖腹探查指征。

(陈順乐摘 江紹基、萧树东校)

8. 鉻远照射(Telecobalt)和 5-氟尿嘧啶(5-Fluorouracil) 合并治疗晚期胃癌

Falkson, G., Sandison, A. G., Jacobs, E. L., 和
Fichardt, T.

«S Afr Med J» 1963, 37(7): 712~717 (英文)

本文中的109例晚期胃癌全部經手术和病理检查証明有癌轉移存在。放射治疗使用西門子2,000居里鉻远(Telecobalt)照射器，距离65厘米，胃部照射野13厘米×13厘米。所用的制癌药主要是抗代謝物5-氟尿嘧啶，在5天的疗程中，每天靜脉注射的剂量少于15毫克/公斤体重。作者建議鉻放射治疗应与5-氟尿嘧啶尽早合并应用，每一疗程为期一周，每經5~6周的間歇后重复一疗程。为了便于判断疗效，作者根据治疗开始前的病情将患者分为4类：(甲)能进行正常活动者；(乙)不能工作，但能在家自行生活者；(丙)不能照顾自己生活活动者；(丁)病情严重者。合并治疗的效果是依据客观体征，包括肿块和肝脏的縮小、黃疸和腹水的消失、胃出血停止、体重增加等，結合主观症状，如疼痛消失、胃納增加等。109例中疗效可分为4等：(1)显著进步者18例。治疗前病情大多数属于(丙)类，全部都有广泛的癌轉移。經反复疗程后，各例的病情都有暫時性緩解，多数恢复正常活动，最长者达21个月。某些患者在停止治疗后病情恶化，而重复治疗后又迅即改善。因此，对这类患者作者主张給予“无限期”重复疗程。(2)进步者30例。治疗前大部分患者属(乙)(丙)类；經合并治疗后各例都有客观可以測知

的进步。最长的缓解期达30个月。(3)无变化者31例，大多数在治疗前属(乙)(丙)类。治疗后未见客观表现有何进步，但部分患者有自觉症状的改善。(4)病情恶化者30例，治疗前大多数也属(乙)(丙)类。全部病例在1~5个月内死亡。以上合并治疗的副作用有腹泻、口疮、白细胞减少、皮肤和爪甲的改变、毛发脱落、皮肤色素沉着和感光过敏等，故在疗程中必须予以密切注意。最后作者提出以下结论：(1)应用放射性钴远照射和5-氟尿嘧啶合并治疗时，虽然两者的剂量都有减低，但仍能达到应有的疗效。这是因为两者具有协同作用。(2)合并疗法能够避免单一疗法时由于应用较大剂量所致的某些毒性副作用。(3)合并治疗必须在同一周内同时使用。重复疗程必须经过5~6周的间歇。(4)小剂量钴远照射和5-氟尿嘧啶合并治疗能够得到良好效果。(5)他种放射疗法和药物治疗，单独或合并使用，未能获得同样好的疗效。(6)经过最大限度地切除恶性变组织后的晚期胃癌患者，值得使用钴远照射和5-氟尿嘧啶合并治疗。

(陆汉明摘 侯积寿校)

9. 水杨酸盐对胃肠道糜烂与出血的局部作用

Roth, J. L. A., Valdes-Dapera,
A., Pieses, P. 和 Buchman, E.

《Gastroenterology》1963, 44(2): 146~158(英文)

许多文献报道阿斯匹林及其复方药物对胃肠道有损害作用。作者于4年内在120例胃肠道大出血中，发现35例(29.2%)于出血前曾服用水杨酸盐。本文探讨水杨酸盐引起胃肠道糜烂与出血的机制。

(1) 水杨酸盐引起黏膜脱落：作者将1/4片阿斯匹林放在12名健康人的上下颌牙龈与口腔及牙龈与颊部之间，不咬碎药片，使它与黏膜接触30~60分钟后用水漱口，然后进行检查，发现与药物接触的牙龈、口腔和黏膜有不规则弥漫性白色混浊斑块出现，损害的范围超出药片大小数厘米，可能系由于药片破碎，接触更大范围的黏膜所致。损害最

严重的中央区的黏膜呈皱缩、疏松，很易剥离。又对14名健康人用复方阿斯匹林(A.P.C.和含有二羟氨基醋酸铝与碳酸镁的缓冲阿斯匹林)进行同样试验，黏膜接触处都出现混浊与脱落，肉眼改变与阿斯匹林所引起者相同。损害黏膜的活组织检查示急性浅表性坏死及鳞状上皮破坏。另用非那西汀(5例)、非那西汀衍生物(乙酰氨基)11例及复方乙酰氨基苯(内含异丁巴比妥钠)5例对上述21名健康人进行同样试验，肉眼检查未发现黏膜有改变。

(2) 水杨酸盐引起猫胃的局灶性坏死与糜烂：以70只5~7磅重的猫作急性试验。试验前禁食24小时。在胃体前壁制造一直径1.5吋的胃窦，将1片水杨酸盐置于离胃窦1吋的胃窦处，1~4小时(平均3小时)后检查与药片接触的黏膜，然后将胃

表1 水杨酸盐的局部作用：灶性黏膜损害

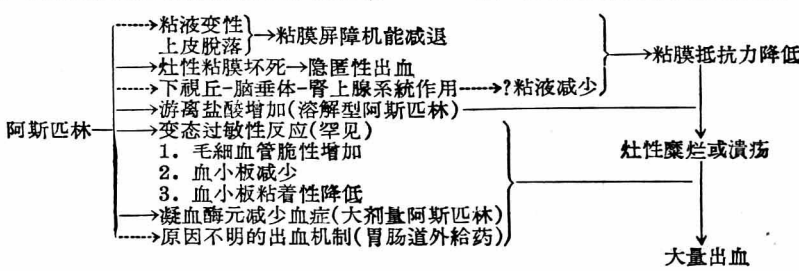
	阿斯匹林	缓冲的 阿斯匹林	A. P. C. 制剂
灶性胃炎	5	2	3
毛细血管血栓形成	4	2	2
纤维素样坏死	4	1	1
黏膜坏死			
浅表性坏死	3	2	1
深部坏死	2	2	
糜烂	2	1	

注：数字代表有病变的猫数。

表2 水杨酸盐对猫胃黏膜的局部作用

	黏膜无改变	黏膜凝固， 上皮脱落	灶性 黏膜 损害
乙酰水杨酸			
阿斯匹林	7	11	16
缓冲的阿斯匹林	0	1	5
A. P. C. 制剂	0	2	3
非那西汀衍生物			
非那西汀	5	0	0
乙酰氨基苯	12	0	0
复方乙酰氨基苯	10	0	0

注：数字代表黏膜有改变的猫数。



阿斯匹林及复方阿斯匹林对胃肠道损害作用的图解

切除，立即摄影并用甲醛固定。結果见表 1 及表 2。

作者以图解表示阿斯匹林及复方阿斯匹林对胃肠道的损害作用。

对粘膜的长时间局部刺激作用，部分取决于药片的溶解率及服药方式；空腹服用坚硬的药片及少量的水易使药片夹在粘膜皱襞之间，而在餐后服用药粉或药水则可减少药物对粘膜的接触。不能把水杨酸盐的局部作用视为引起出血的唯一机制。有人认为胃粘膜吸收未离解的阿斯匹林可能为引起出血的因素；但静脉注射阿斯匹林也可引起胃肠道出血，提示尚有某些其他机制未得到阐明。鉴于水杨酸盐可引起溃疡活动、出血与顽固性贫血，作者认为对消化性溃疡、肥厚性或萎缩性胃炎、食管静脉曲张、憩室及食管炎等患者，应避免使用各种水杨酸盐类药物，必要时可用对胃肠道无刺激作用的镇痛剂，如乙酰氨基酚来代替。

(黄淇标摘 王贊舜校)

10. 成年型幽门肥厚性狭窄的治疗

Tolstedt, G. E. 和 Bell, J. W.

«Western J Surg» 1963, 71 (3): 136~139(英文)

本文报告 4 例成年型幽门肥厚性狭窄患者用三种不同治疗方法的治疗结果。第一种方法是胃大部切除术。临床症状明显，伴有呕吐及体重减轻，X 线检查发现有幽门肥厚性狭窄者，皆为胃大部切除术的手术适应证。尤其是老年的患者 X 线不能排除恶性肿瘤时更应作胃大部切除术。如术前能肯定排除恶性肿瘤，胃切除部分应较少，以减少术后的并发症。本文报告 2 例胃大部切除术，术后随访 4 年以上，皆未复发；但有 1 例伴发倾泻症候群。

第二种方法是幽门肌切开术。适用于幽门轻度肥厚而同时有较肯定的狭窄者。本文报告 1 例男性老年糖尿病患者，因恶心、嗳气及间歇性呕吐而入院，X 线检查发现胃有潴留，但幽门无异常。胃液抽吸得 390 毫升潴留液，胆囊造影发现有胆结石。作胆囊切除术时发现幽门肥厚，做胃造口术以检查幽门，发现不能通过食指，此外幽门区未发现有新生物或溃疡，乃同时作幽门肌切开术。术后患者症状完全消失。5 年后病人死于心肌梗死，病理解剖未发现幽门肌肥厚的证据。这例说明有时本病的诊断只能在手术时确诊。作者强调如幽门显著肥厚，则不宜作此手术。因幽门肌切开后不能回缩，梗阻亦就不能解除。此手术亦可在将来创口愈合后造成复发性的狭窄。所以通常不宜采取此种手术。

第三种方法是内科疗法。若症状轻且 X 线检查

或胃粘膜脱落细胞学检查能排除恶性肿瘤或有手术禁忌症时，可考虑用内科疗法。内科疗法虽可使症状暂时缓解，但大多数病人的症状可复发。本文报告 1 例中年患者，有嗳气已 6 年，伴有上腹间歇性疼痛及偶然呕吐，X 线检查发现幽门有肥厚性狭窄，但病人拒绝手术。经用饮食疗法和制酸剂治疗后，症状减轻。6 年后再度因症状复发而入院，又经内科疗法后缓解。

作者在讨论中强调本病不宜作胃肠吻合术，虽然本手术可以立即解除梗阻，但幽门狭窄仍然存在，且可在以后发生吻合口溃疡。作者亦不推荐幽门成形术，因肥厚的幽门肌难于缝合，且肌肉失去柔性和往往保持在初步缝合状态，仍可形成部分梗阻。

(陆伟壮摘)

11. 应用放射性同位素对胃切除后营养不良的研究

Sparchez, T., Gheorghescu, B. 和 Merculiev, E.

«Rev Int Hépat» 1963, 13(1): 1~13 (法文)

作者等应用放射性同位素对 74 例胃切除后营养不良患者进行了消化及吸收功能测定。男性 49 例，女性 25 例。年龄自 21~55 岁。胃切除术方法，10 例为 Péan-Billroth 氏 I 式，64 例为 Reichal-Polya 氏式。

消化功能系以 I^{131} - 三油酸甘油酯 (Stanley-Thannhauser 氏法) 测定；吸收功能是在 I^{131} - 三油酸甘油酯测定后 3 星期，以 I^{131} - 油脂测定之。此外还对 15 例胃切除后中度及重度营养不良患者应用静脉注射 I^{131} 标记的人血清白蛋白 (每公斤体重 2 微居里) 作蛋白质代谢的研究；注射后 18~20 天内，每隔 2~3 天抽血作放射测定，并测定 10 天中大便的放射性。患者根据营养不良的情况及体重减轻的程度被分成轻度、中度及重度营养不良 3 组。

结果：(1) 轻度营养不良组：体重减轻 3~5 公斤，共 35 例。其中属 Reichal-Polya 氏式手术 25 例，Péan-Billroth 氏 I 式手术 10 例。35 例中 3 例在摄入 I^{131} - 三油酸甘油酯后，6 小时内血中放射量较正常者少，而 72 小时大便中则增加； I^{131} - 油脂测定正常；诊断为胰原性消化功能不良。4 例的消化吸收试验均正常，但均有饮酒史和不能耐受脂肪，诊断为轻度胰腺功能不足。17 例的测定结果提示吸收功能紊乱，其中 7 例的 X 线检查示有空肠炎征象。11 例术后临床及 X 线检查均确诊为消化性溃疡，其

营养不良主要因疼痛而限制进食所致；其中 8 例为 Péan-Billroth 氏 I 式手术，3 例为 Reichal-Polya 氏式手术。(2) 中度营养不良組：术后体重減輕 5~8 公斤，共 25 例。11 例的同位素检查示肠道吸收功能紊乱，X 线检查有空肠炎征象，其中 4 例經抗菌素治疗后收到較好疗效。6 例示胰腺功能不足。2 例对三油酸甘油酯有过度吸收現象，X 线检查发现小肠粘膜呈严重病变。6 例临床及 X 线检查均証实为消化性潰瘍，其吸收功能正常，营养不良主要由疼痛而限制进食所致。(3) 重度营养不良組：体重減輕超过 10 公斤，共 14 例。6 例示消化功能紊乱，有低血鉀、低血鈉与貧血等。5 例服試剂后 6 小时內血液放射性輕度升高，72 小时的大便放射性則大量增加。3 例于 6 小时內血液放射性明显增高，72 小时的大便放射性排泄亦增多。X 线检查均有严重的小肠粘膜病变。

15 例 I^{131} -人血清白蛋白的測定結果示半衰

期为 5~12 天(正常 12~14 天)。半衰期愈短者，营养不良愈严重。10 天中的大便放射量为 1~3.5% (正常为 0.3~0.6%)。

作者等认为胃切除术后的中度或重度营养不良的消化吸收功能紊乱可賴临床、化驗及 X 线检查証明，而輕度者需用 I^{131} -三油酸甘油酯和 I^{131} -油脂測定才能作出診断。作者观察的 74 例中，14% 患者的营养不良属于胰腺功能不足(均为 Reichal-Polya 氏式手术)，可能由于胃內容物不經十二指肠和胰酶分泌減少之故。60% 患者示吸收功能紊乱，均属 Reichal-Polya 氏式手术，其原因均与空肠炎症有关。

作者最后指出胃切除后不但对脂肪吸收功能障碍，且可有蛋白质代謝紊乱，临幊上常见血清白蛋白降低。本文 I^{131} -人血清白蛋白的研究亦証实了此点。

(朱人璋摘 蕭树东校)

潰瘍病

12. 十二指肠球部以外潰瘍的 X 线診斷与誤診

Boudaghian, B. 和 Pouletty, M.
«J Radiol Electrol» 1963, 44(8~9):
598~603 (法文)

十二指肠球部以外的潰瘍由于 X 线診斷較困难，易被忽略或誤診，且长期来一直被认为是例外或罕见的。自 Gutmann 氏提出后，很多作者才予以重視和研究，并发现在 X 线检查中非球部潰瘍約占十二指肠潰瘍的 2.7%，而根据尸检材料來分析，竟高达 5~17%，非球部潰瘍常见于以下三个部位。(1) 球部后潰瘍：位在球頂折曲处，因常与球頂部重叠而被掩盖，病灶不易发现；(2) 降部潰瘍：常处在球頂折曲处与瓦特氏壺腹間；(3) 壺腹后潰瘍，一般較少见。

作者強調非球部潰瘍的診斷主要有賴于 X 线檢查。由于潰瘍所处解剖部位与組織学上的因素，診断往往比較困难，特別如第二、第四段十二指肠彼此前后重叠，或第二段向后腹膜固定，其他如粘膜环状襞的移动亦可掩盖小的潰瘍。但主要关键在于已往对该症重視不够。作者认为将来如能应用电影螢光摄影来进一步觀察十二指肠的动态，当然更为理想。

作者在本文中共报告 3 例，并描述了其主要的 X 线表现，即龕影与狭窄。

(一) 龕影：各个不同的时期可有不同的表现：①新的潰瘍每易忽略，在高度粘膜水肿区可发现点状密度增深影，伴有 3~4 条星形放射条紋；此时較有价值且常见的早期間接征象是水肿性十二指肠炎。②如潰瘍进展则可在广大粘膜水肿区呈直径达数毫米的噴火口状龕影，其周围有放射状皺紋；当潰瘍伴有纖維变性时则龕影可呈典型的 Gutmann 氏穿線珍珠征象 (*Perle enfilée de Gutmann*)。孤立的病灶較易診断；但如位于球頂折曲处，则診断較为困难。龕影周围炎变累及球部而形成粘膜水肿时，可酷似球部潰瘍。③穿达胰头的龕影，一般呈不規則而巨大，常处在十二指肠框内緣，往往伴有瘢痕收縮而有成角畸形。

(二) 狹窄：有很大的診斷价值：如见狭窄且伴有关龕影則診斷几乎可以肯定。在严重病例，十二指肠周围炎性肿块压迫所形成的狭窄可酷似假性肿瘤。

鉴别診断应考虑十二指肠憩室、移动性球部、胆道疾患引起的十二指肠球部周围炎、环胰或迷走胰腺、胰腺肿瘤等。作者最后強調非十二指肠球部潰瘍不能再看作为罕见的疾患，它的確診对病程进展与治疗有不可否认的价值。

(李修梧摘 徐惊伯校)

13. 减低张力下十二指肠造影术 500 例的分析

Mallet-Guy, P. 和 Jacquemet, P.

«J Radiol Electrol» 1963, 44(5): 249~258 (法文)

本造影术的设计原理为：借助某种药物使十二指肠的蠕动及张力暂时减弱，并通过插入十二指肠腔的导管加压注射钡乳，使该肠腔充盈完善，从而可摄得该段肠壁的稳定影像。经导管注入钡乳的优点在于能按要求使肠壁充盈，并可吸出造影剂和注入空气。减低张力后加压注射造影剂可使十二指肠更接近胰腺头部，从而可更真实地反映出胰腺的状态。减低张力后所摄取的每组照片必然会重复显示同样的影像，从而提供了诊断的肯定性和正确性。在本检查方法中，胃幽门瓣部不与十二指肠降部上段重叠，因而有使该部更完整地显示出来的优点。

技术操作：于透视下证实导管远端已插入十二指肠降部的上端后，病员仰卧于X线机台上，肌注Antrenyl 2~4毫克以减低十二指肠张力，20分钟后通过导管注入10~20毫升粘稠的普罗卡因(Xylocaine)，再隔15分钟后注入常规检查胃囊用的钡乳，后者应调和均匀，温度为38°C。第一组照片于十二指肠最扩张时摄取之。然后经导管吸出钡乳，摄取十二指肠粘膜皱襞的摄片。最后注入空气，摄取双重对比摄片。

作者已施行减低张力十二指肠摄影术500例，其中150例显示病态；此150例中经手术证明的病变为：慢性胰腺炎80例，瓦特氏壶腹部癌12例，壶腹部良性肿瘤3例，总胆管结石25例，淋巴结压迫5例，杂病10例)胆囊十二指肠癌1例，胆囊癌4例、肝癌3例，十二指肠降部溃疡2例)。

慢性胰腺炎病例的X线表现可分为三类：(1)示显著征象：12例，十二指肠腔呈现深刻和广泛的改变，或形成一局限性如线条状的阻塞狭窄，以致4例误诊为胰腺癌。(2)示明显征象：35例，十二指肠的改变较上述者略逊，其内缘的皱襞犹如经推刨刨削，呈平坦或稍形凹陷，甚至形成表浅残缺；有时除十二指肠内缘皱襞显示强直外，并可见到针刺或锯齿状阴影。(3)示轻微的征象：33例，十二指肠的改变仅局限于少数的皱襞。这些小区域的强直、凹陷以及细小针刺表现的交替出现，在对比各组摄片时往往能确定其发生在同一区域，是慢性胰腺炎的鲜明征象。减低张力十二指肠造影术对胰腺疾病的诊断率达83%。

25例诊断为胰腺癌，其中11例诊断正确。3例胰腺癌误诊为慢性胰腺炎，1例误诊为壶腹部癌，4例慢性胰腺炎误诊为癌，4例漏诊，2例拟诊为胰腺头部癌但未经手术证实。胰腺癌的确诊率为45%。

瓦特氏壶腹部肿瘤26例，其中诊断为恶性肿瘤并经手术证明者14例，确诊率为54%。

壶腹部癌的征象或可为肠壁强直部位有一较大的壁龛，或可为十二指肠表面有较大的凿孔样缺损，而于较远的区域有被侵犯的表现。早期壶腹部的诊断较为困难，须以各组摄片进行对比，可以发现在正常皱襞中的向腔内凹陷的区域中有一壁龛（不应与正常皱襞混淆），和一十二指肠腔内较淡的充盈缺损，后者代表尚未被肿瘤侵犯的粘膜上的一个能活动的肿块。

总胆管内结石在减低张力十二指肠造影术中并无恒定特征，但作者认为在黄疸病例中应用本法可帮助诊断。

作者认为减低张力十二指肠造影术为诊断胰腺及壶腹部疾患的一个良好的方法，诊断率高达80%；此外，对慢性胰腺炎及壶腹部癌的早期诊断亦很有帮助，对胰腺头部癌的早期诊断则较差。

(徐惊伯摘)

14. 胃冰冻术

Heineken, T. S., Rich, R. E., Greifinger, W.,

Stoll, G. F., O'grady, M. J. 和

Manowitz, N.

«Amer J Gastroenterol» 1963, 39(6): 648~654 (英文)

Wangensteen 氏等曾报告用“胃冰冻术”治疗十二指肠溃疡。该疗法的作用机制为：(1)阻断来自胃粘膜的迷走神经分泌反应；(2)使胃窦粘膜对摄入食物不起反应，因此抑制了胃窦激素的释放；(3)使胃壁细胞分泌胃酸和主细胞分泌胃蛋白酶的能力减退。作者等用此疗法治疗10例男性慢性十二指肠溃疡。所有病例均有胃酸增高，但在治疗时均无活动性溃疡壁龛。半数患者以往有出血史，半数过去内科治疗无效。无1例有幽门梗阻。疗效系按游离盐酸降低的程度来划分。如降低25%以上，认为疗效尚好；如降低50%以上，认为疗效佳或极佳。若胃酸无减低，则建议患者在3个月内再作一次冰冻术。在冰冻期间，除体温下降1.1~2°C外，一般血液生化检查均无变化。在半数病例中，白细胞计数有轻度升高。10例中9例，在冰冻期间心电图示心肌缺血的改变；其中1例同时伴有多源性室性期外

收缩和 ST 段轻度抬高，以致在 45 分钟时不得不中止治疗。上述心电图变化均于空腹取出后迅速恢复。病人住院均不超过 48 小时。10 例的疗效为：游离盐酸减低 50% 者 6 例，25% 者 1 例，35% 者 1 例，2 例无下降。作者等认为欲得满意的效果，应该做到：(1)胃液完全抽尽；(2)温度恒定在 -12°C 50~60 分钟；(3)空腹内有足够量酒精——750~800 毫升；(4)室温不超过 24°C。治疗后 10~30 天内患者可有上腹饱胀感及左上腹偶感不适，X 线检查表明可能由于胃张力减退之故。治疗后随访结果，10 例均未再出现溃疡痛症状，2 例无胃酸减低的患者亦是如此。如上所述，在冰冻过程中 90% 的病例有心电图改变，此外，40% 的患者在冰冻后 10 分钟出现低血压。冰冻术后未见发生呕血或黑粪，亦无并发胃溃疡、穿孔或梗阻。

(徐家裕摘 萧树东校)

15. 选择性迷走神經切断术 后的一些观察

Smith, G. K. 和 Farris, J. M.

«Arch Surg» 1963, 86(5): 716~725 (英文)

本文报道选择性迷走神經切断术 40 例，随访 6 个月到 2 年以上的临床观察。

观察结果：40 例全部生存，也未发现溃疡复发。术后胃分泌功能和脂肪吸收的检查，证实选择性迷走神經切断术的效果和迷走神經干切断术基本相同；腹泻症候群的发病率也大致相仿。术后 5 例有排便习惯改变，发生率为 12%。作为对照，作者等随访了施行迷走神經干切断术在 2 年以上的 100 例。经详细询问，28 例（28%）术后有明显的排便习惯改变，其中 1 例腹泻较为严重，半数病员的症状和高渗性饮食有关。

根据 Burge 氏的观察，若保留迷走神經的肝支，则腹泻极少发生。为了进一步阐明这一问题，作者等将迷走神經切断术分为 4 型：(1)主干切断；(2)双侧选择性切断术，保留肝支和腹支；(3)前支选择性保留肝支后支主干切断术；(4)后支选择性保留腹支前支主干切断术。本组病例计有(2)型手术 19 例，(3)型 17 例和(4)型 4 例。在腹泻的 5 例中，(3)和(4)型各占一例，且症状较严重；其余 3 例属于(2)型，症状轻微，发作也多和高渗性饮食有关，其中 2 例尚伴有腹泻的症状。

根据观察结果，作者等认为，目前，选择性迷走神經切断术虽很可能成为一种比较理想的手术方式，但它不能完全预防术后排便习惯的改变；它未能

取而替代迷走神經干切断术，因后者对溃疡病的治疗效果还是比较满意的。当手术野暴露不够满意，术者对迷走神經的解剖不够熟悉，或伴有急性大出血时，不宜采用选择性迷走神經切断术。

原文对选择性迷走神經切断术的操作步骤进行了介绍。

(曹金枢摘 吴肇光校)

16. 高位胃小弯溃疡的外科治疗

Gammie, W. F. P.

«Proc Roy Soc Med» 1963, 56(6): 500~501 (英文)

高位胃小弯溃疡因有早期癌变和出血的可能，一般均主张作高位胃大部切除术。但广泛切除病灶常可增加手术死亡及引起反流性食管炎、术后营养不良等后遗症。自 1918 年 Kelling 氏及 1929 年 Madlener 氏提出对本症作溃疡下胃部分切除术后，近 30 年已广泛采用这种手术 (Kelling-Midlener 手术)，临床疗效极佳，术后胃肠道钡餐检查显示溃疡龛影很快愈合。本文分析伦敦医院 1952 年起对 25 例高位胃小弯溃疡病例采用上述手术方法的治疗结果。本组病例约占同期胃小弯溃疡手术病例的 10%。本组病例的性别、年龄与其他胃溃疡病例无区别；同样，约有 25% 病例伴有十二指肠、幽门溃疡或疤痕。因缺乏明显的周期性疼痛，且与饮食无明显关系，本症的诊断较为困难。X 线钡餐检查有时亦难以显示溃疡龛影。

本组病例 2 例因溃疡出血、2 例因恶变可疑、21 例因在内科治疗观察期中溃疡复发而采用外科治疗。由于 X 线摄片常难以正确估计溃疡与贲门间的距离，故胃切除的范围仅能在手术时决定，有时甚至须在胃部分游离后才能决定。对贲门下 4~5 厘米处的溃疡，切除范围最难决定；有造成胃切除过多或过少的可能。手术医师可根据炎性肿块及溃疡周围炎症反应情况决定溃疡有否恶变。本组中 1 例由于术前 X 线检查有恶变可疑，曾切开胃壁作冰冻切片检查，但不宜常规施行。

25 例无手术死亡及严重并发症。仅 1 例伴有严重高血压者，术后曾呕血，需输血治疗。经 2~10 年随访，1 例术后 3 年发生吻合口癌肿而死亡，另 1 例术后 9 年因冠状动脉栓塞而死亡，其余病例均无胃部症状，食欲良好，饭后无饱胀感，营养状态甚佳，仅偶有反流现象。25 例中除 4 例外，均作了术后 X 线钡餐复查，无充盈缺损或局部压痛。

作者最后指出，局限性胃切除术疗效良好，手术危险性小，继发性胃癌的发病率小于 4%。广泛性全

胃切除术的手术死亡率及后遗症均較前者为高，故本症的手术方法以选择前者为宜。

(朱人璋摘 馮阜英校)

17. 長期觀察證明 Billroth 氏 I 式 胃切除术不足以持久控制 十二指肠潰瘍

Newton, E. 和 Judd, E. S.

«Surg Gynec Obstet» 1963, 116(2):

170~173 (英文)

长期以来，Mayo 医院大多采用 Billroth 氏 II 式胃切除术治疗十二指肠潰瘍，主要理由是：胃粘膜能与硷性消化液长期接触，能降低潰瘍的复发率；又当十二指肠壁有炎症时，进行 Billroth 氏 I 式手术在技术上也有困难。自 1945 至 1960 的 16 年中，仅对 244 例十二指肠潰瘍患者采用 Billroth 氏 I 式胃切除术进行治疗，其中 172 例得到随訪，本文报道这 244 例的疗效分析。在 172 例得到随訪的患者中，130 例为十二指肠潰瘍，42 例为复合潰瘍。年龄最小者 14 岁，最大者 74 岁，平均为 55 岁。胃的切除范围：76 例 (44.2%) 为 2/3, 74 例 (43%) 为 3/4, 14 例 (8.1%) 为 1/2, 6 例少于 1/2, 2 例为 4/5。13 例合并施行迷走神經切断术。吻合方法：149 例采用 Schoemaker 氏式，20 例为 Von Haberer 氏式，2 例为 Finney 氏式，1 例为 Horsley 氏式。合并症：244 例中 35 例术后发生 44 起严重的并发症，发生率为 14.3%。2 例吻合口狭窄者，須再次手术。2 例术后立即死亡，手术死亡率为 0.8%。体重变化：在随訪的 172 例中，36.6% 体重減輕 5 磅以上，21.5% 体重增加超过 5 磅，其余 41.9% 的体重增減，都不超过 5 磅。倾泻症候群：4% 术后出现中等度及重度倾泻症候群。5 年內 随訪：69.7% 效果良好，16.6% 进步，13.7% 不良。6~10 年 随訪：75.7% 效果良好，10.8% 进步，13.5% 不良。11~16 年 随訪：53.1% 效果良好，18.8% 进步，28.1% 不良。复发：26 例潰瘍复发，复发率为 15.1%，其中 12 例 (46.2%) 系在术后一年内复发。女性患者的复发率較男性患者为高。

13 例合并迷走神經切断术，随訪 1~7 年，平均 3.9 年，8 例效果良好，2 例进步，3 例不良，其中 1 例有潰瘍复发。

本組潰瘍复发率为 15.1%，显著高于 Billroth 氏 II 式者 (1.5~5.6%)。因而作者认为 Billroth 氏 I 式胃切除术，技术上虽較简单，术后倾泻症候群較

少，但潰瘍复发率較高，如不同时施行迷走神經切断术，单纯采用此法治疗十二指肠潰瘍并不相宜。

(张鸿祺摘 郑宝琦校)

18. 難治性十二指腸潰瘍： 手術指征的客觀依據

Stempien, S. J., Dagrad, A. E. 和

Steinsapir, L. J.

«Amer J Dig Dis» 1963, 8(6): 484~491 (英文)

根据主观症状来决定十二指肠潰瘍病例的难治性及其手术指征，难免带有偏见，因此是不可靠的。作者等通过 54 例“难治性”十二指肠潰瘍患者的观察，探索何种客观資料可以作为外科选择的依据。观察项目包括病史、体检、上消化道 X 线检查、二小时基底胃酸分泌定量测定，必要时作胃鏡检查，部份病例作胰島素胃液分析。

結果：本組年龄多数 (36 例) 在 30~49 岁之間，病程超过 10 年者占半数以上 (29 例)，其他特征为每年頻繁的复发，且疼痛开始轉为持續性 (27 例)，既往史有过出血 (22 例)、穿孔 (8 例)、梗阻 (1 例) 等并发症，内科治疗效果不佳。

在 39 例进行了 2 小时基底胃酸分泌测定；結果 18 例 (46%) 正常 (<1.5 毫克当量/小时)，21 例 (54%) 分泌过多 (≥ 2 毫克当量/小时)，另 10 例有高度的基底胃酸分泌过多 (5~12 毫克当量/小时)。在 37 例中有 29 例 (80%) 尿內尿胃蛋白酶过多 (>50 单位/小时)。在进行胰島素胃液分析的病例中，出現較“正常”持久的分泌增高。

本組 54 例均通过第二次仔細的上消化道 X 线检查。作者等将幽門十二指肠段的器质性病变分为四級：+：十二指肠潰瘍阴影不伴有关节性改变；++：极輕度的瘢痕性畸形，十二指肠球部尚保持其原有輪廓；+++：呈苜蓿叶形；++++：十二指肠球部輪廓完全消失，不論有无狭窄和穿透。狭窄和穿透而无潴留亦列为重度器質性病变。本系列中 39 例显示幽門十二指肠段重度器質性病变；其中 33 例有 +++~++++ 畸形，9 例有狭窄，9 例有深部穿透，19 例 (35%) 有异常显著的胃粘膜增粗。

經胃鏡检查者 23 例，9 例診斷为弥漫性粘膜肥厚，且均有 X 线胃粘膜肥厚象，其中 7 例并有高度胃分泌过多，作者等称此为良性肥厚性分泌过多性胃病 (Benign hypertrophic hypersecretory gastropathy)。其余患者属正常或有輕度胃炎。

手术时取得全厚胃壁标本的 2 例良性肥厚性分

泌过多性胃病患者，病理检查显示胃粘膜层增厚，腺细胞增生，有时具有间质内炎症细胞浸润。胃窦部和/或胃体部粘膜均可有肥厚改变，主细胞和壁细胞均可有增生而不限于“壁细胞堆”的增生。有时并有炎症细胞浸润。

综上所述，在本组 54 例中 43 例找到难治性的相当可靠的客观证据；其中 39 例主要表现在幽门十二指肠段重度的器质性病变，4 例是高度的基底分泌过多。

作者等认为难治性十二指肠溃疡病例的客观估计，应该以仔细的胃肠 X 线检查和 2 小时基底胃酸分泌定量试验为基础。X 线检查应注意幽门十二指肠段病变的严重程度和有无胃粘膜异常增粗。发现后一情况时应进行胃镜检查加以证实。在本系列中通过 X 线和胃镜检查见到这种粘膜改变的病例占 35%。

下列三项变化，即：(1) 幽门十二指肠段重度器质性改变；(2) 基底胃酸分泌增高；(3) 伴发的良性肥厚性分泌过多性胃病，应被视为难治性十二指肠溃疡的客观证据。具备上述三项，或其中任何二项并可见到十二指肠溃疡阴影时，均可作为难治而需要手术的可靠依据。第一项可以单独作为难治的证据。对上述三项全部缺如的病例，不宜因难治而建议手术。同时作者等指出：手术的决定亦不应机械地根据上述三项资料。如果病人能接受适当的内科治疗而在正常生活情况下并无症状，仍宜采用内科治疗。

(金慰倜摘 朱无雅校)

19. 老年人的消化性溃疡出血

Guth, P. H.

《Amer J Gastroenterol》1963, 39(1): 43~47 (英文)

作者分析 1957~1960 年所见 78 例 104 次溃疡病出血者的治疗结果，讨论老年消化性溃疡出血的治疗问题。所有病例均经 X 线、手术或尸检证实。内科治疗包括多次牛乳及乳油饮食，与制酸剂交替给予；血红蛋白低于 8.5 克% 或临床上有休克时，则给予输血。急诊手术的指征为：(1) 出血速度超过输血速度；(2) 48 小时内持续出血超过 3,000 毫升；(3) 住院期间虽经严格内科治疗而仍有复发出血。

104 例次中 86 例次系十二指肠溃疡出血，18 例次系胃溃疡出血。十二指肠溃疡出血者 19.8% 施行

手术；胃溃疡出血者 44.4% 施行手术。十二指肠溃疡出血死亡 10 例，仅 1 例年龄在 70 岁以下，70 岁以上的 24 例中 9 例死亡。10 例中 6 例在内科治疗时死亡，余 4 例术后死亡。内科治疗的 6 例均伴有严重疾病如动脉粥样硬化、转移性癌等，因此即使手术，治愈机会亦很少。手术死亡的 4 例中，3 例年龄在 70 岁以上，因此手术危险很大。胃溃疡出血死亡 3 例，年龄均在 50 岁以上；2 例伴有严重脑血管或心血管疾病，1 例术后并发支气管肺炎而死亡。

作者在讨论中指出，即使在 70 岁以上的老年患者，多用急诊手术能降低消化性溃疡出血病死率之说并无根据。这一年龄组病死率较高的原因在于常伴有其他严重疾病。因此，对老年出血性溃疡患者，急诊手术的指征毋须改变。

(江石湖摘 江绍基校)

20. 肝脏边缘影象——一种十二指肠溃疡穿孔的特征性征象

Pyle, R.

《Brit J Radiol》1963, 36(427): 503~504 (英文)

本文报告一种十二指肠穿孔进入肝肾间隙的特征性表现，过去仅 Mann 等氏(1956)提到过。本征非常少见。作者在过去 2 年内仅见到 2 例；这种表现系建立于牢固的解剖基础，对十二指肠穿孔具有诊断意义。十二指肠溃疡穿孔所引起的气腹，如有少量气体逸出，立位片上一般不能显示膈下气体。但由于十二指肠第一部位于 Morison 氏陷凹(肝肾间隙)内，穿孔后气体就集聚于该处，仰卧位摄片时，气体可上升至前腹壁，显示肝脏的边缘，造成一典型的新月形透光阴影。

作者报告 2 例。例 1，女性，36 岁，急腹痛入院。立位片上膈区未见气体，因仰卧位片见肝脏边缘征而诊断为十二指肠溃疡穿孔，手术证实诊断正确。例 2，男性，83 岁，腹部隐痛数天。立位片显示膈下有大量气体，与通常大肠穿孔时所见相似。但气体也显出肝脏边缘，故诊断为十二指肠穿孔入肝肾间隙，结肠穿孔不能完全除外。手术发现十二指肠溃疡穿孔伴胆汁性腹膜炎。大量游离气体的出现据推断与穿孔后所经历的时间较久有关，如无肝脏边缘征存在，本例不易作出正确诊断。 (陈星荣摘 荣独山校)

肠

21. 十二指肠憩室

Laudan, J. C. H. 和 Norton, G. I.

«Amer J Roentgenol» 1963, 90(4):

756~760(英文)

十二指肠憩室甚少见，是因胚胎期正常肠腔闭塞阶段发生不完全性再通而形成。据推測其起源有二：(1)不完全的十二指肠分叉：由与十二指肠腔相通的胚胎空泡发展而成；(2)十二指肠膈：系一向腔内生长的扁平突起，形成憩室的十二指肠膈，能膨胀，典型的膈呈环状，附着于肠腔内壁，远端有口与肠腔相通。在X綫方面，不論憩室来自十二指肠膈或不完全十二指肠分叉，均呈相同征象。典型的表现为：钡餐检查时可见乏特氏壶腹附近的十二指肠腔内有钡充盈的袋状阴影，在任何角度投照下均在腔内。加压点片中可见憩室壁呈薄的透亮圈，其近端的十二指肠可呈不同程度的扩大。在憩室内可见结石、异物以及其他解剖畸形，例如迷走性或环状胰腺、胆管胰腺管开口畸形、以及十二指肠中隔等。其手术指証取决于有无肠梗阻、消化性潰瘍、手术的危险性以及局部的其他解剖畸形等。

病例报告：26岁，女性，过去无梗阻征或胃肠道出血史。5天来感上腹部不适，但可为食物緩解。钡餐检查发现十二指肠球部前壁有一直径1厘米的潰瘍，十二指肠第二部近乏特氏壶腹处有一腔内憩室，長約10厘米，远端伸入十二指肠第三部。检查时见憩室有钡的充盈和排空，其大小及形态均可改变。当憩室内钡剂排空时，在十二指肠第二及第三部可見到透亮的条紋状憩室壁，酷似繚虫影。憩室近端开口的直径約为1厘米。由于其易于排空，提示另有远端开口。患者經药物治疗后症状消失，故未行手术。

(韓莘野摘)

22. 小肠神經纖維瘤

Marshak, R. H., Freund, S. 和 Maklansky, D.

«Amer J Dig Dis» 1963, 8(6): 478~483(英文)

肠壁內神經組織肿瘤的分类相当混乱。River氏将神經纖維瘤(neurofibroma 和 neurinoma)和神經節瘤(ganglioneuroma)归为一类，称之为神經源性(neurogenic)肿瘤。这类肿瘤可为单独的或多

发的，最多见于小肠，尤其是回肠，亦见于胃，罕见于食管和結肠。任何年龄均可得病，但最高发病率在40~60岁之間。主要临床表现是腹痛、肠出血和腹块。其次为恶心、呕吐、腹泻、腹胀、消瘦和腹部压迫感。肠梗阻較为常见，其原因多由于肠套叠、肿瘤压迫或侵入肠腔。偶尔由于肠扭转和环状狭窄。

作者等报道一例15岁女孩，主要临床表现为下腹間歇性絞痛，盆腔內捫及块物。手术探查发现回肠及回肠盲肠套叠。复位缝合后患者仍屢有下腹陣痛和輕度肠套叠发作。經多次X綫检查始发现回肠中部有多数腔内和壁内結节。最后病人又发生回肠和回肠盲肠套叠，手术复位后切除患部回肠，病理報告为多发性神經纖維瘤伴出血性肠炎。

作者在討論中指出，大多数小肠神經源性肿瘤系良性，但偶可有輕度恶性。这类肿瘤常具有包囊和蒂，多呈椭圆形或圓形。良性者质地坚硬，恶性者质地和色泽似脑組織。常有潰瘍；其范围越大，边缘越不規則，恶性的可能亦越大。良性粘膜下肿瘤和肉瘤有时不易从組織学上鉴别。在放射学上，起源于結締組織的良性小肠肿瘤(如肌瘤、纖維瘤和神經纖維瘤)甚为相象，除脂肪瘤外无法彼此鉴别。最常见的发现是多发性界限清楚的腔内或粘膜下充盈缺損和继发性肠套叠。較少见的是：小肠受巨大肿块压迫，瘤蒂扭轉。这可能导致小肠扭轉。偶尔良性粘膜下肿瘤可产生环状病变，其界限清晰而光滑。潰瘍阴影并不少见。单一、小而界限清楚的潰瘍属于良性。无定形、大而不規則的潰瘍一般全为恶性，最常见的是肉瘤，迁徙性肿瘤也會有报道。最后作者指出二点：(1)虽然小肠套叠几乎全部由于良性粘膜下肿瘤或腺瘤，但偶尔亦见于正常青年人和口炎性腹泻患者。(2)小肠肿瘤常須經過多次X綫检查，方不致遗漏。

(金慰倜摘 朱无难校)

23. 小肠吸收不良綜合征中的两种类型

Vesin, P., Milhaud, G. 和 Cattan, R.

«Arch Mal Appar Dig» 1963, 52(4):

331~337(法文)

近年来的所謂小肠吸收不良綜合征是指应用同位素或化学方法証实为脂肪痢的慢性腹泻。此外，患

者对碳水化合物、铁、钙、维生素D、维生素B₁₂等亦可有吸收不良。小肠(尤其是十二指肠和空肠)粘膜活体组织检查显示典型的病变。作者在介绍本病的病原和生化改变等以后，报道了2例小肠吸收不良综合征患者，其临床表现为两种不同的类型。兹将其病史摘录如下：

例1 男性，70岁，因腹泻5~6个月而入院。患者每天大便4~5次，质稀薄。经各种治疗均无效果。患者感乏力、食欲不振，体重减轻18公斤。体检有消瘦，其余无特殊。入院后大便每天4~6次，质软，色泽淡而呈油腻样。24小时大便量为300~1,250克。血清总蛋白7克%，白蛋白4.1克%，球蛋白2.9克%。血钙9.5毫克%，血磷5.4毫克%。^{I¹³¹}标记的三酸甘油酯试验示明显的脂肪痢。右旋木糖和葡萄糖耐量试验均示严重的小肠吸收不良。^{I¹³¹}标记的多乙烯吡咯酷(PVP)试验与钙代谢研究等均正常。小肠X线检查示空肠与回肠有功能性紊乱，空肠粘膜皱壁增厚。小肠粘膜组织学检查示绒毛变短，并有炎症细胞浸润。患者虽经无麸质饮食、肾上腺皮质激素、抗生素与叶酸等治疗，腹泻仍持续，于发病6个月后死亡。尸检除小肠粘膜病变外，无其他异常发现。

例2，32岁，慢性腹泻病史已14年，一般每年发作2次。本次因腹泻6个月而入院。每天大便达10次，粪质色淡呈油腻样。体重减轻6公斤，有乏力与苍白。患者幼年时经常腹痛，每次持续数天。曾患过巨细胞性贫血，维生素B₁₂治疗后得到缓解。体检示消瘦，下肢有轻度浮肿，其余无特殊。24小时大便量达900克。血清总蛋白5.7克%，白蛋白3.5克%，球蛋白2.2克%。24小时大便脂肪明显增多，为16.5克。右旋木糖试验示轻度吸收障碍，葡萄糖耐量试验则正常。^{I¹³¹}标记的血清白蛋白静脉注射后，大便放射性明显增加，4天内排泄15% (正常值<0.5%)。白蛋白的半衰期缩短，为5天 (正常值18~22天)。静脉注射Ca⁴⁵以后，肠道排泄钙增加，为322毫克/24小时 (正常值<150~160毫克/24小时)。患者血钙正常，但尿钙明显减少，为15毫克/24小时。胃肠钡餐检查示小肠功能紊乱；此外，回肠尚有一处固定的明显肠扩张。因而诊断为肠梗阻而作了剖腹手术。术时发现离回盲瓣1米处有一狭窄处，其上小肠有扩张，其下小肠肠腔正常。肠系膜淋巴结有肿大。切除了25厘米有病变的肠段，并作了肠吻合术。小肠组织学检查示局限性回肠炎，肠粘膜有溃疡。术后2个月，患者腹泻改善，24小时大便

量为300克，脂肪痢消失，24小时大便脂肪少于3克。一般情况有明显进步，体重增加6公斤。^{I¹³¹}标记的白蛋白试验复查结果：大便放射性为0.4%，白蛋白半衰期为19天，已转为正常。Ca⁴⁵试验示肠道排泄钙较术前略有减少，为264毫克/24小时，尿钙仅增加至63毫克/24小时。术后13个月复查时，血清蛋白、血钙、尿钙等均为正常。患者腹泻消失，情况良好。

第1例是原发性脂肪痢，临幊上除脂肪痢外，还有对糖的吸收不良。第2例有回肠狭窄与空-回肠炎，临幊上除脂肪痢外，还有大量钙与蛋白质自肠道排泄和发生巨细胞性贫血，对糖的吸收则仅有轻微障碍。由于维生素B₁₂系在末端回肠处吸收，因而第2例有维生素B₁₂的缺乏和出现贫血。至于为何大量钙与蛋白质自肠道排泄，其机制不明。作者强调指出尿钙减少可反映肠道对钙的排泄增多，临幊上可出现手足搐搦、骨质软化等。

(萧树东摘 徐惊伯校)

24. 应用Ca⁴⁵研究小肠吸收不良综合征

Milhaud, G., Vesin, P. 和 Cattan, R.

«Arch Mal Appar Dig» 1963, 52(4):

309~315(法文)

小肠疾患有时伴有钙代谢紊乱，表现为低血钙、低尿钙、手足搐搦、骨质软化或骨质疏松。作者对10例吸收不良综合征(均有脂肪痢，7例为口炎性腹泻，3例为渗出性肠病)进行了钙代谢等研究。患者年龄在14~70岁之间，男性6例，女性4例。患病时间自半年~40年不等。

患者每日饮食中的钙摄入量平均为900毫克。各例均测定血、尿与大便钙含量。并在静脉注射Ca⁴⁵2~6微居里后，测定血、尿和大便的放射性。10例均作了血清白蛋白代谢的研究，方法是以^{I¹³¹}标记的人血清白蛋白作静脉注射，然后测定其血浆中的半衰期和5天内的大便放射性。3例曾以^{I¹³¹}标记的多乙烯吡咯酷(PVP)研究肠道中蛋白的损失量。

研究结果：4例患者临幊上有手足搐搦与发麻，其血钙明显减少，为5.5~7.5毫克%。另1例虽有低血钙，但无症状。6例尿钙明显减少，2例中度减少，另2例尿钙正常或增高。2例小肠对钙呈明显的吸收不良，均为负钙平衡。另2例对钙系轻度吸收不良，其中1例为正钙平衡，1例为负钙平衡。其余6例钙吸收正常，但其中有1例为负钙平衡。10例中